

FIG.1

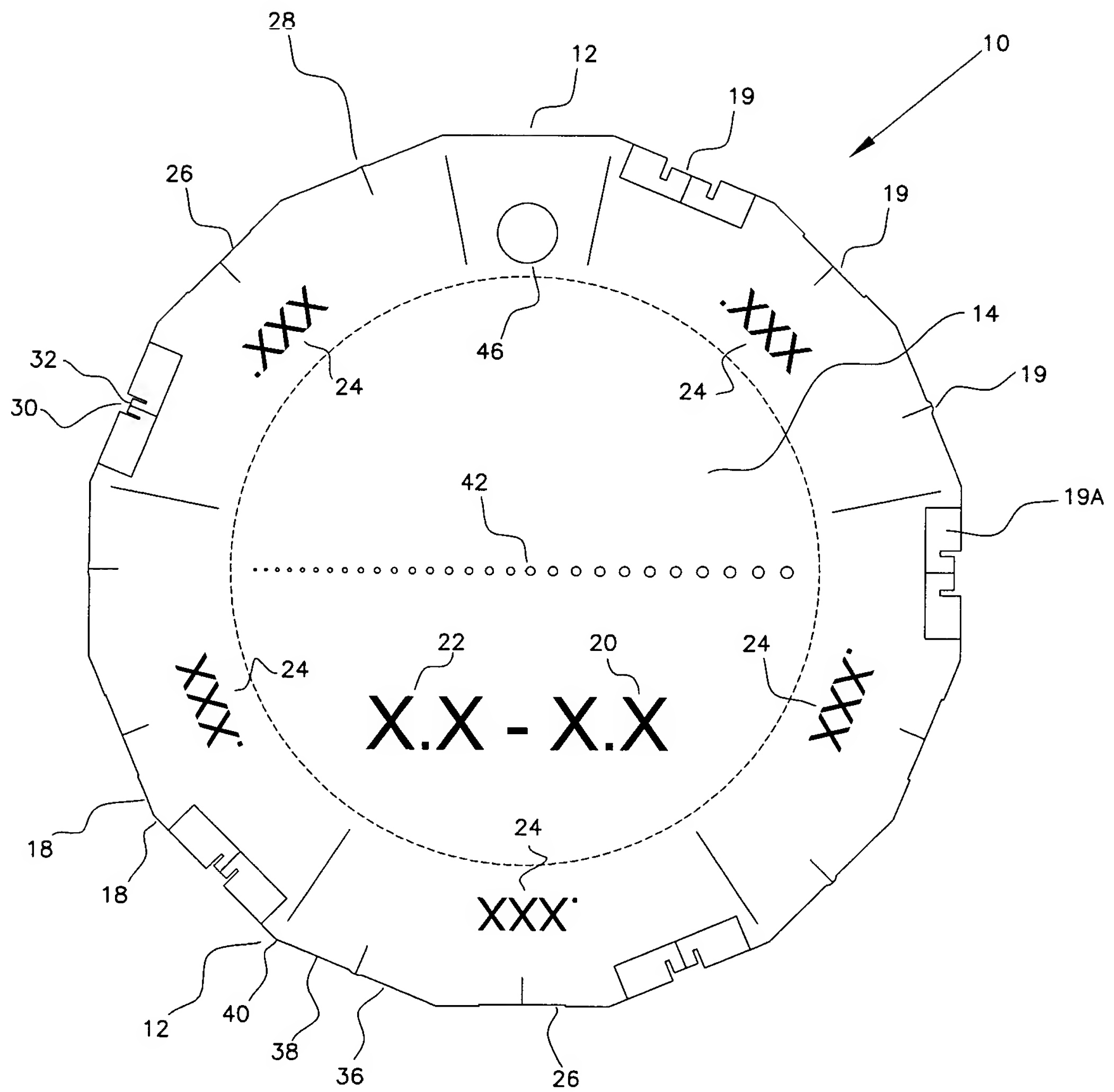


FIG.2

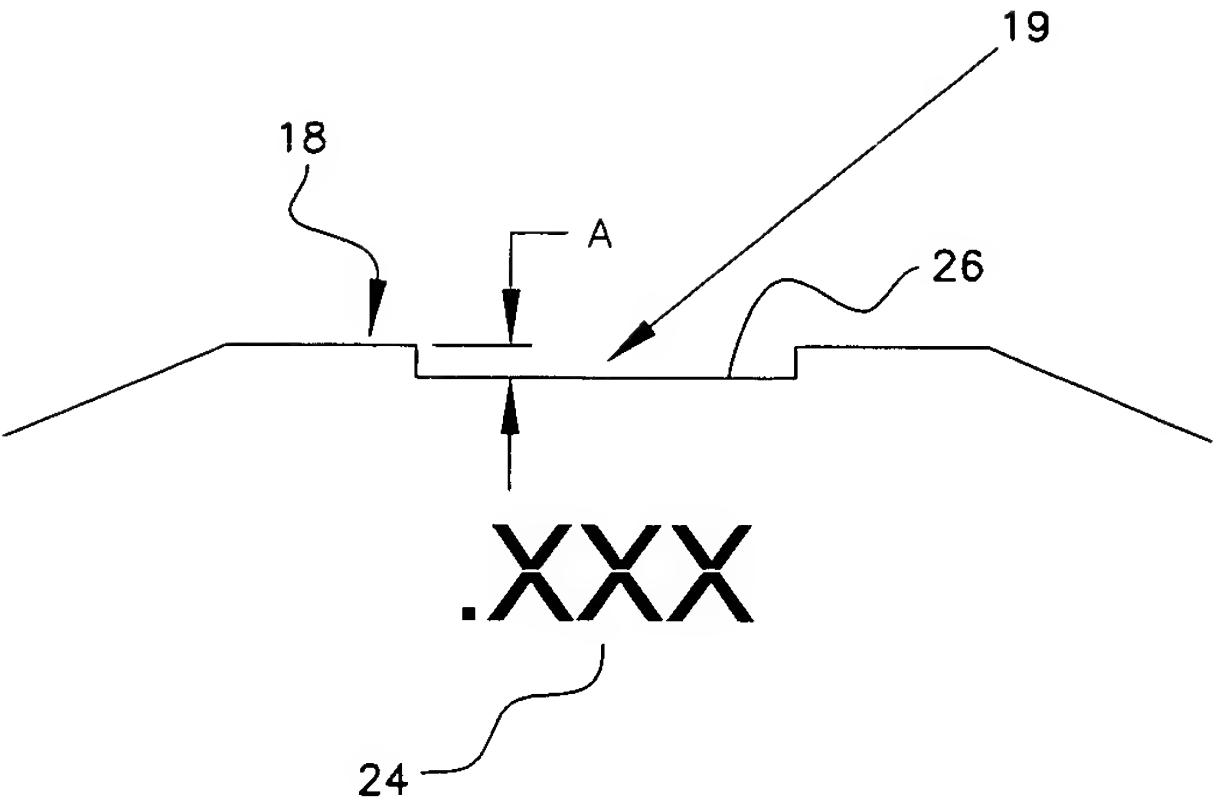


FIG.3

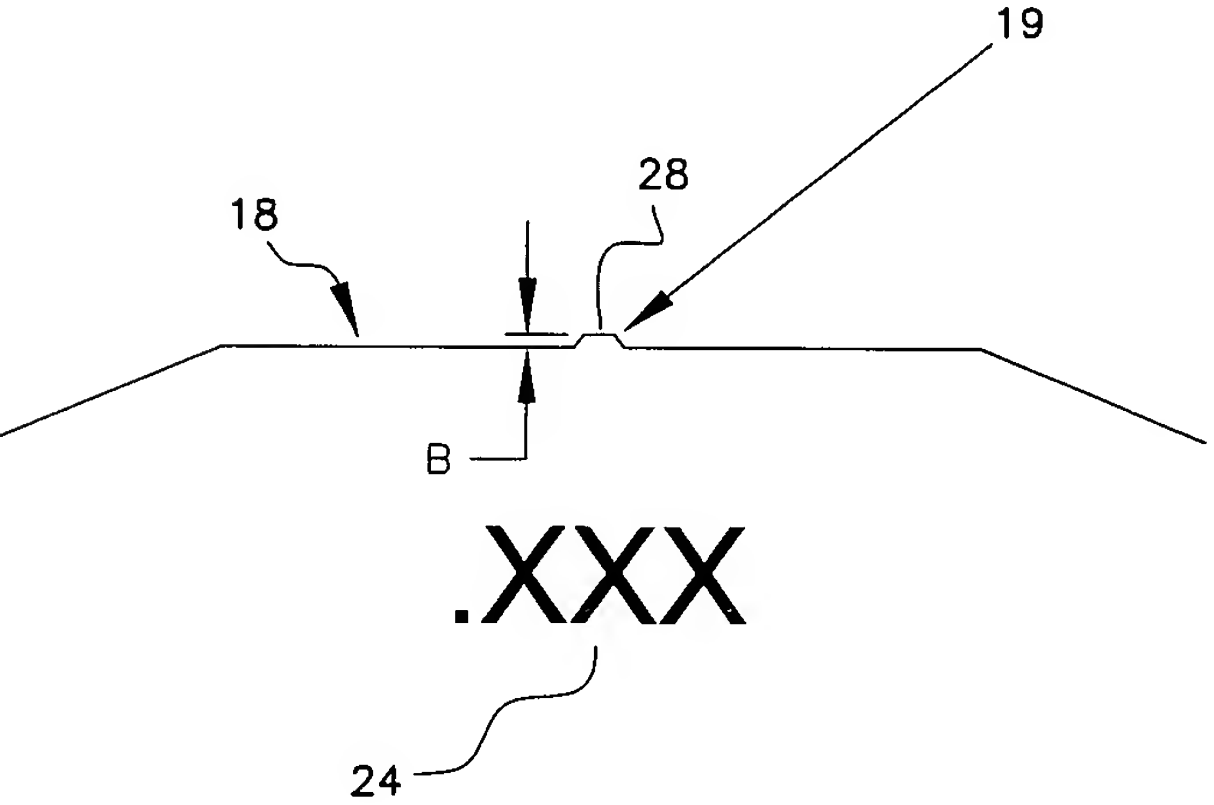


FIG.4

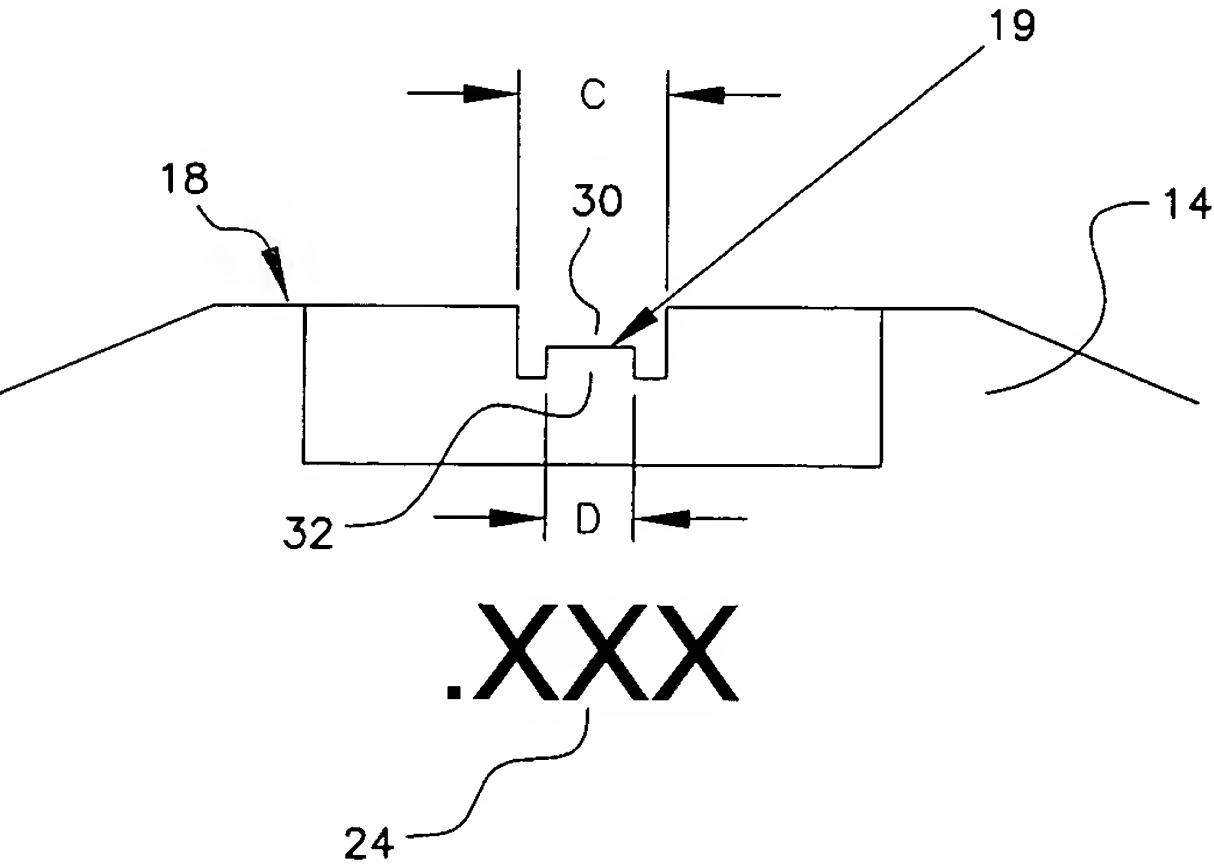


FIG. 4A

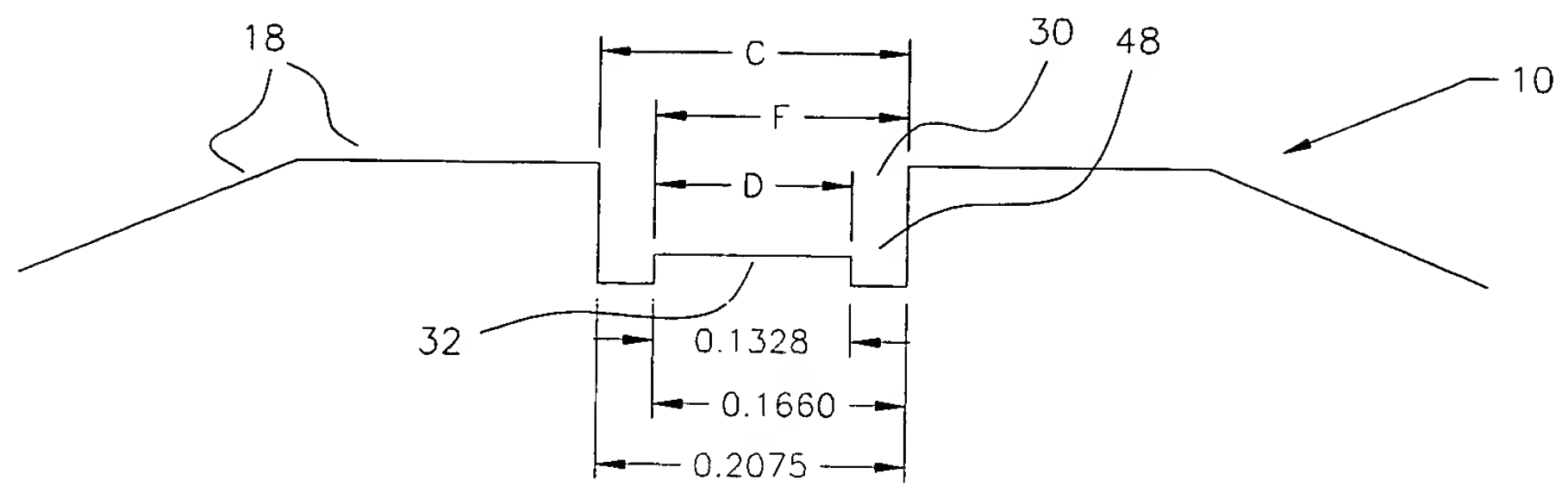


FIG. 4B

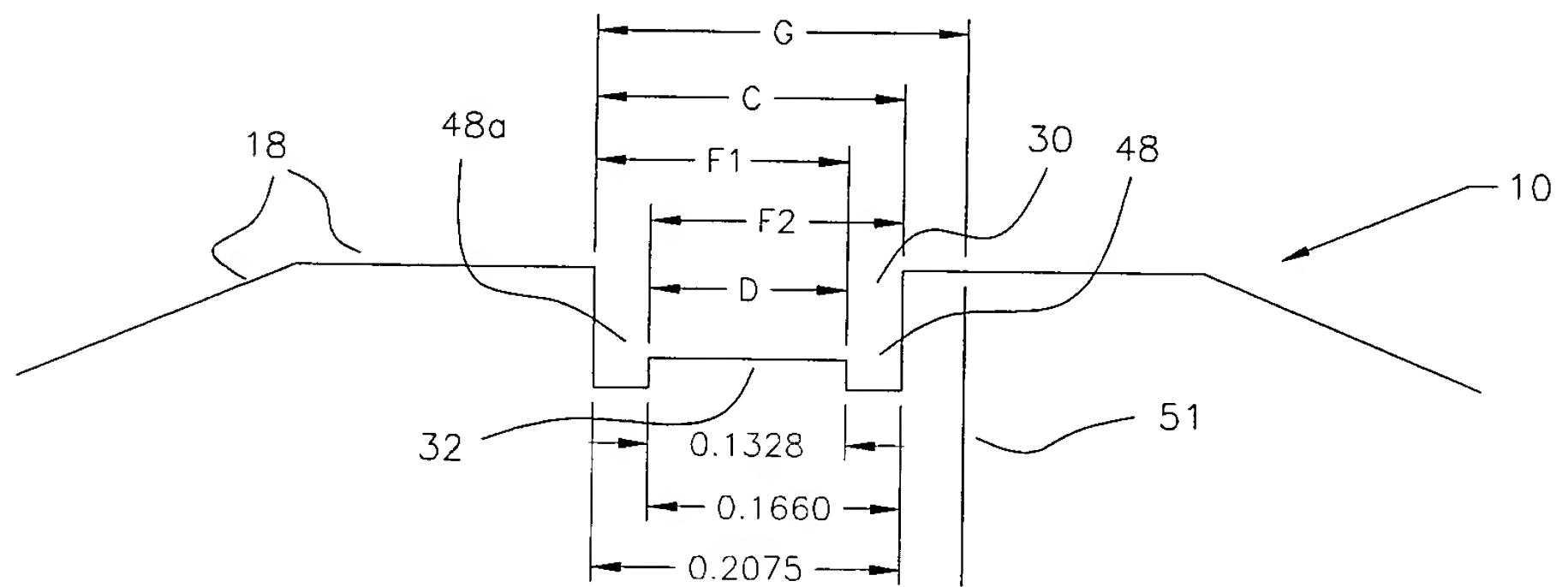


FIG. 5

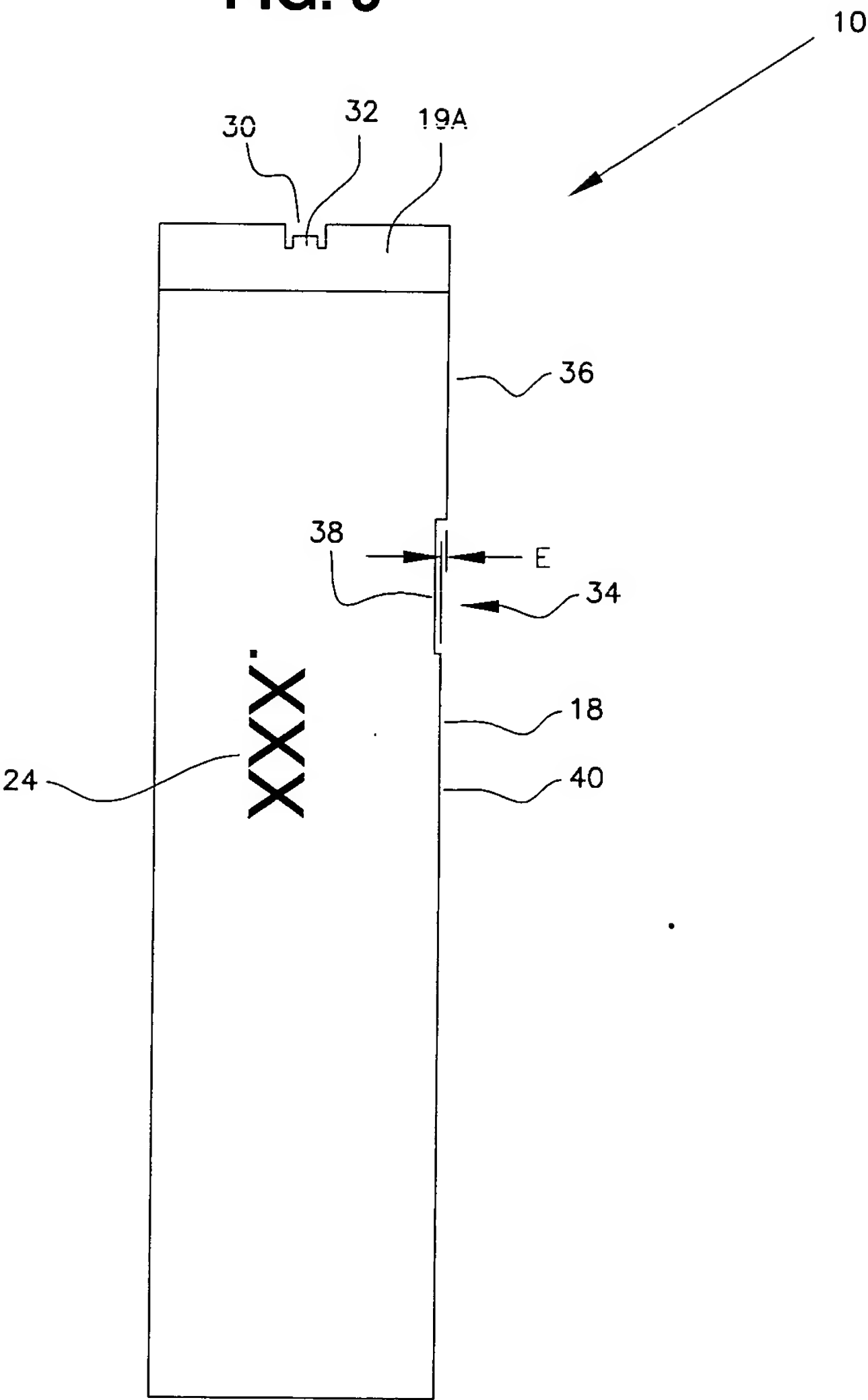


FIG. 6

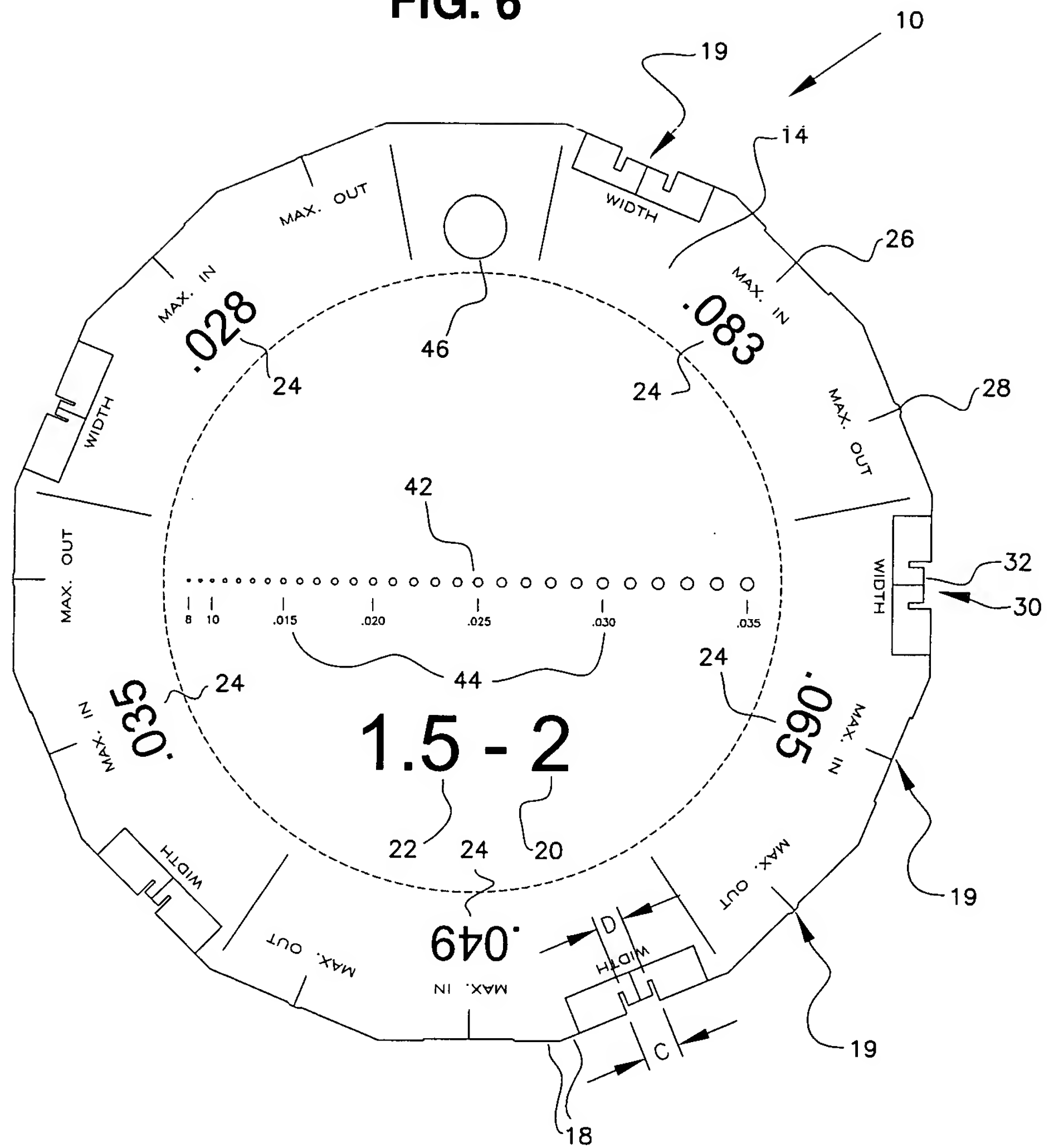


FIG. 7A

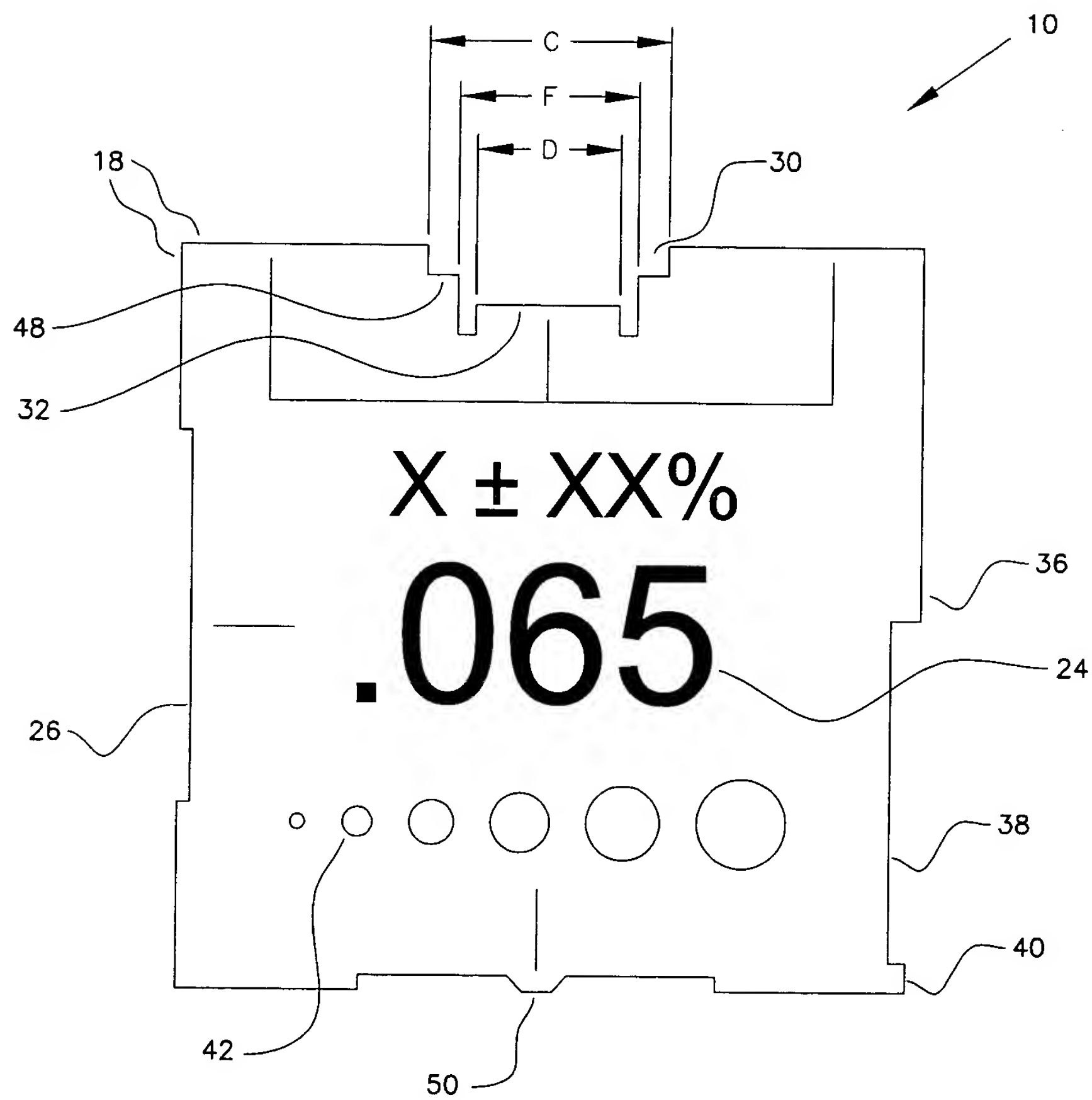


FIG. 7

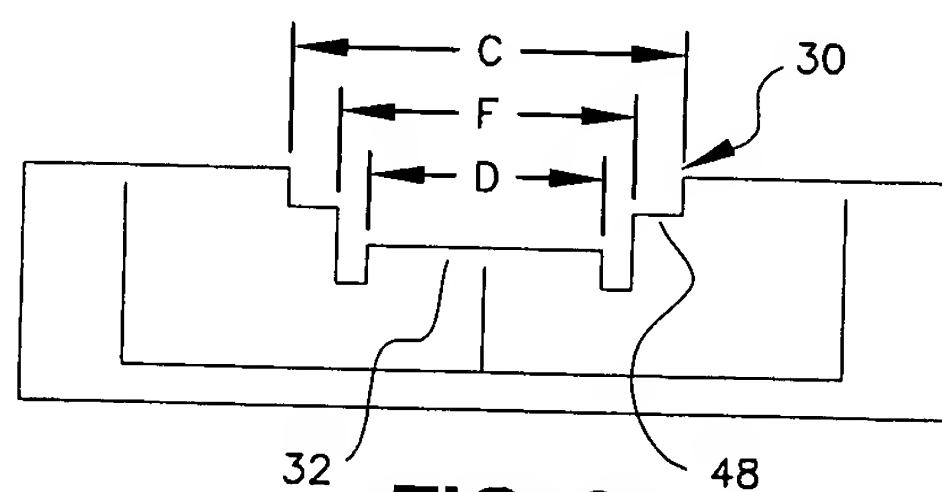
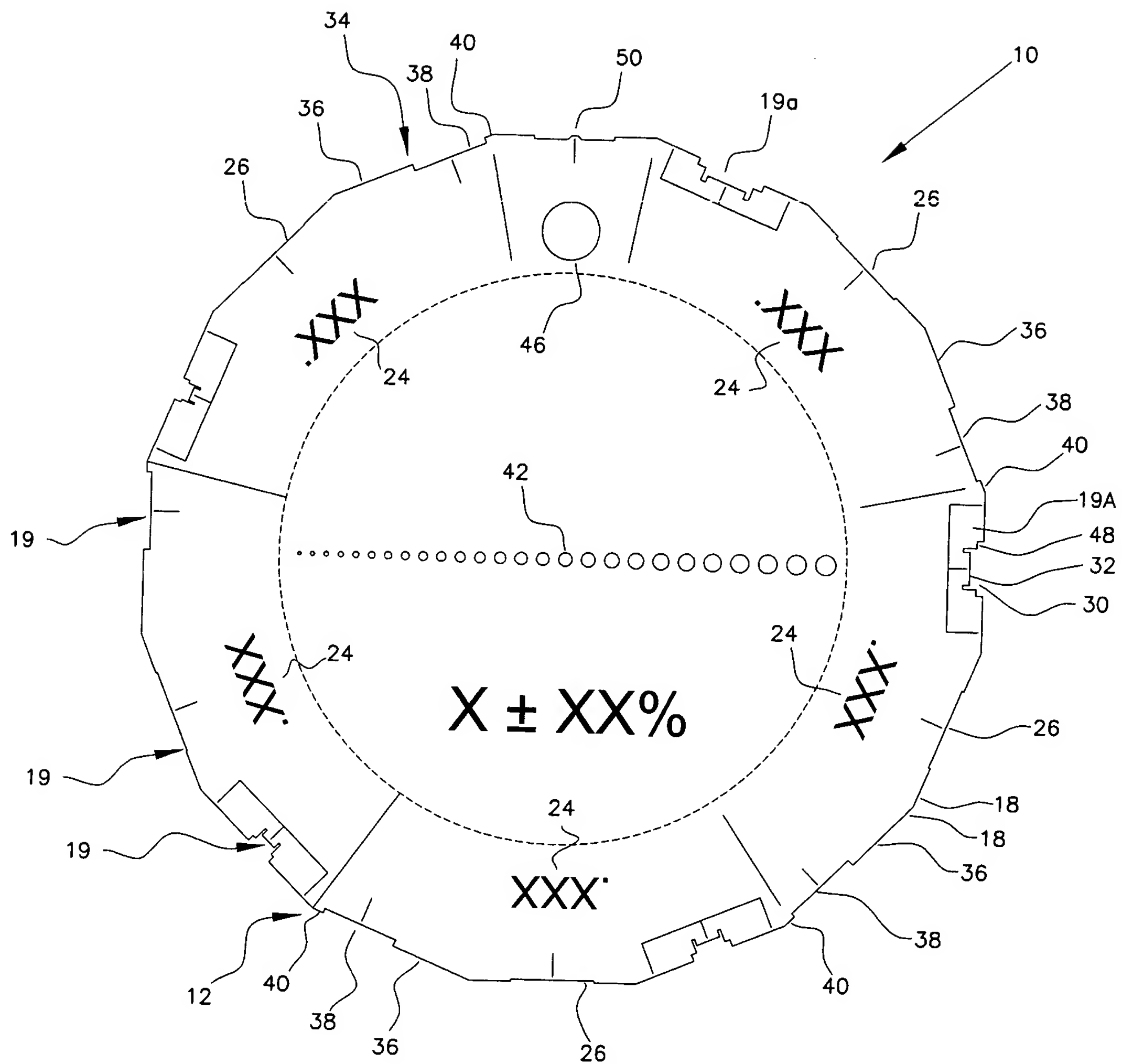


FIG. 8

FIG. 8A

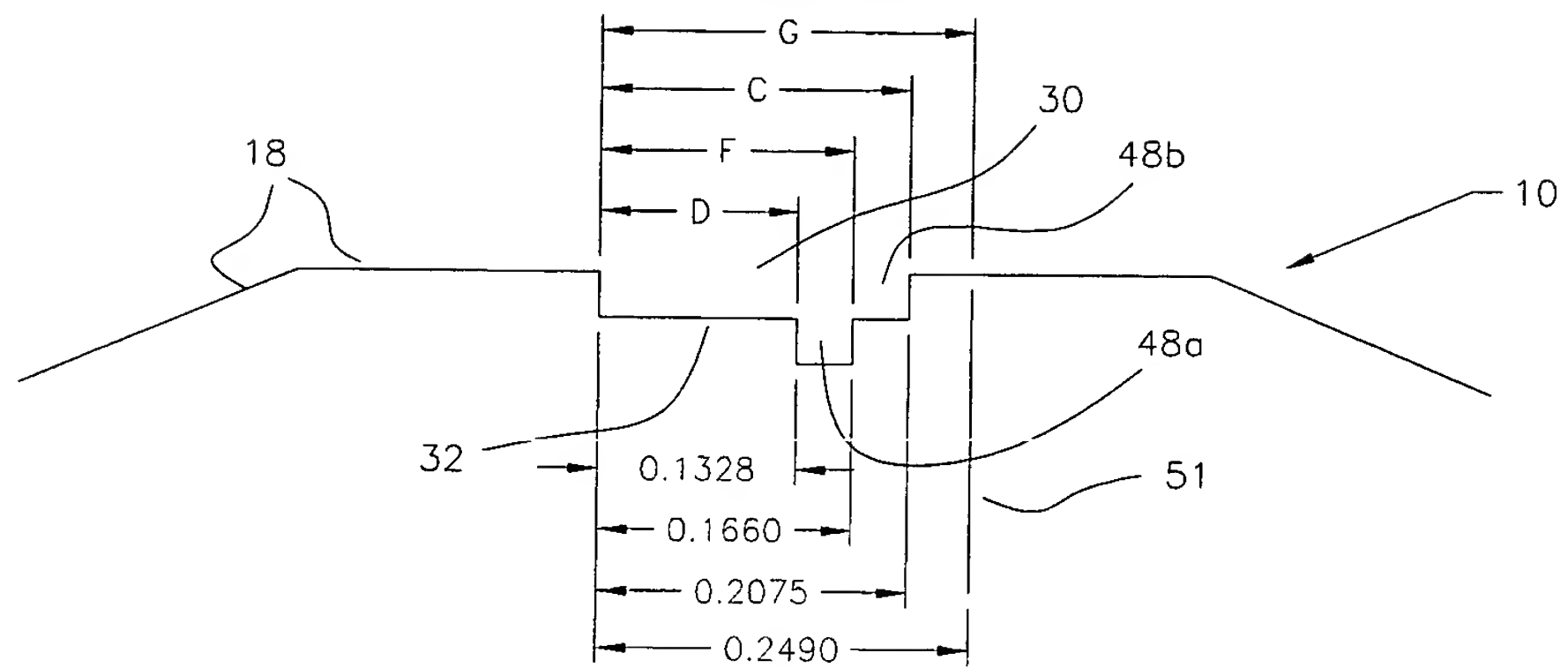


FIG. 8B

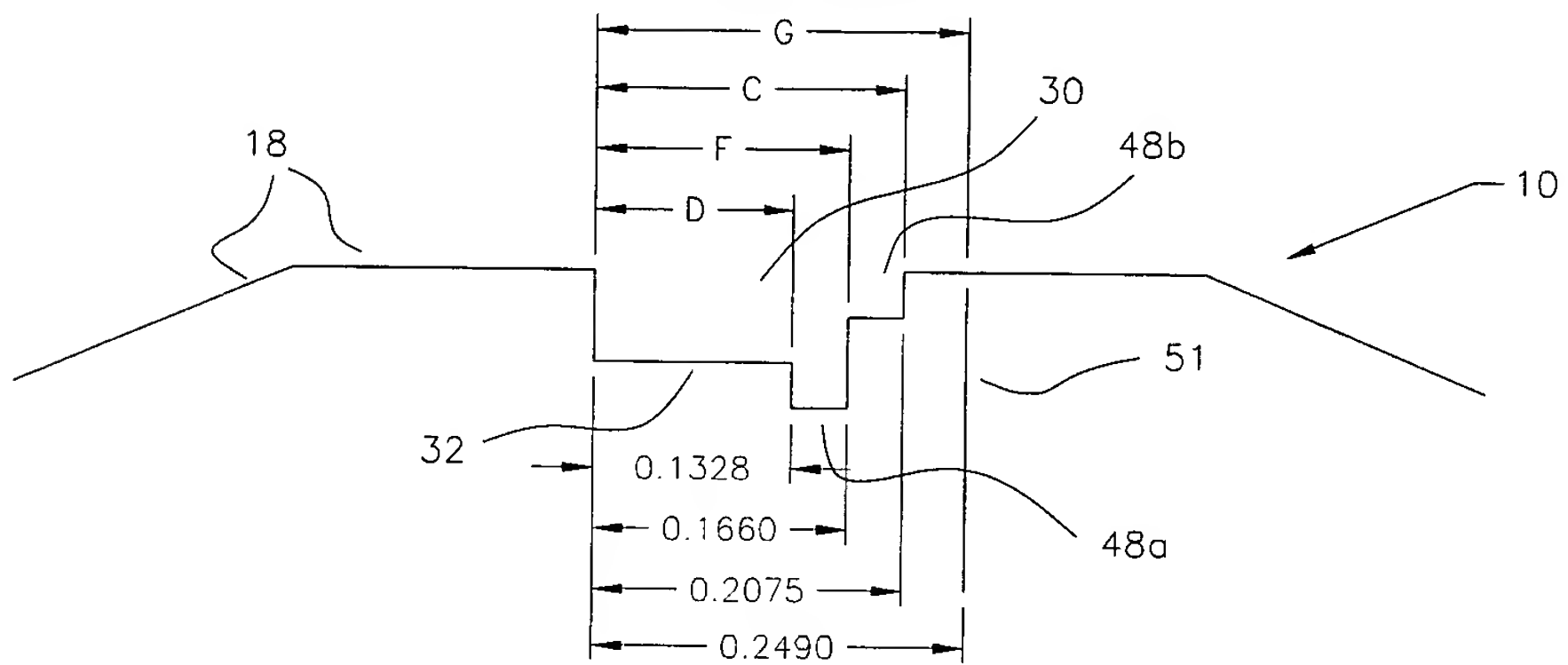
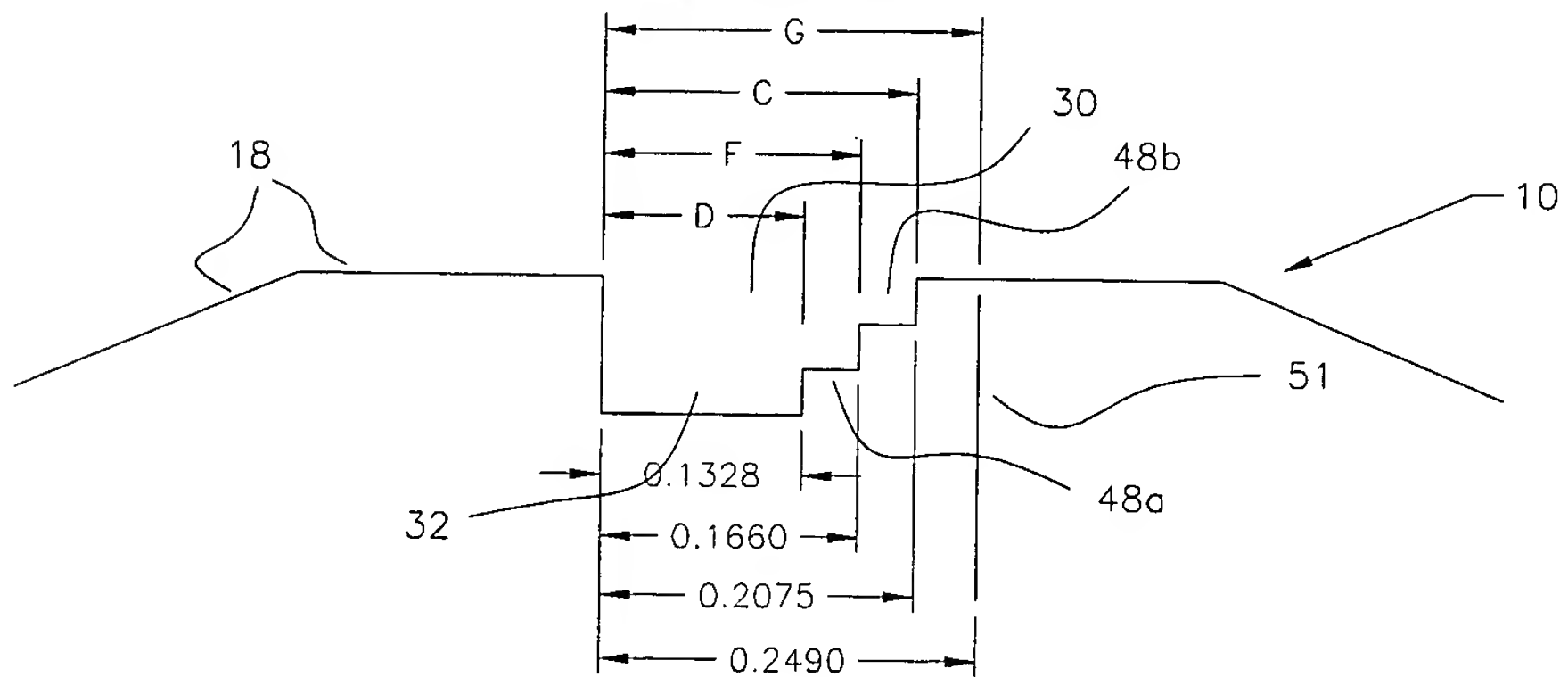


FIG. 8C



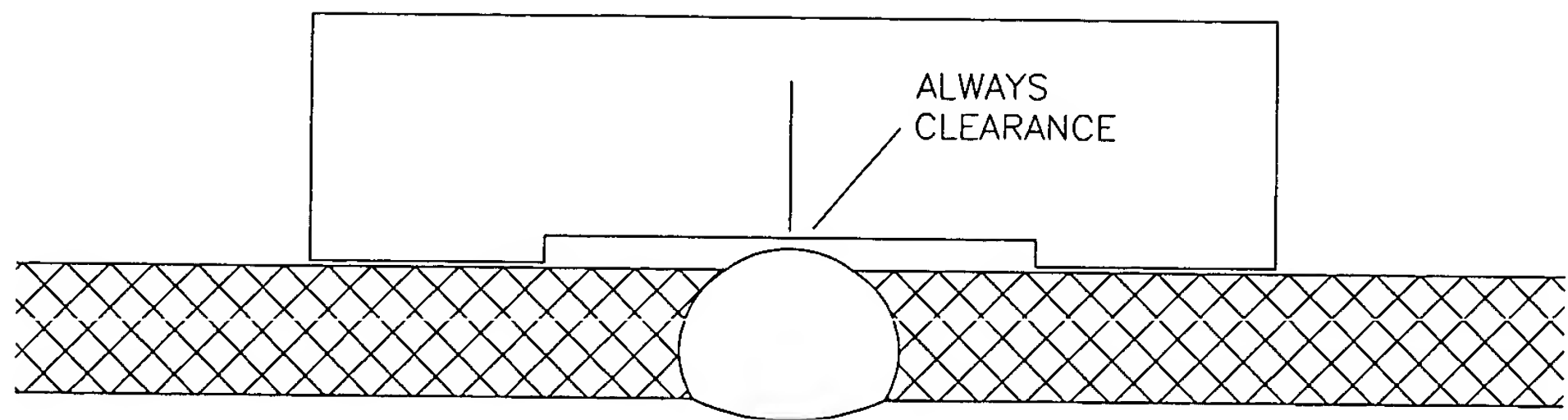


FIG. 9A

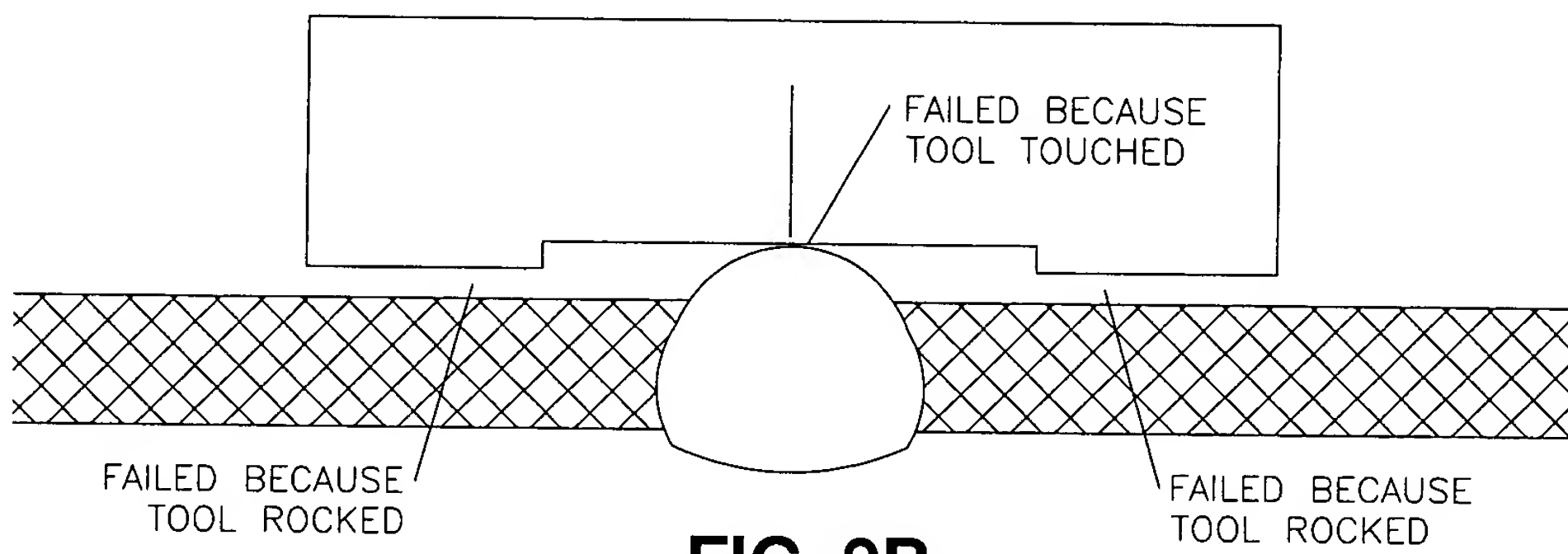


FIG. 9B

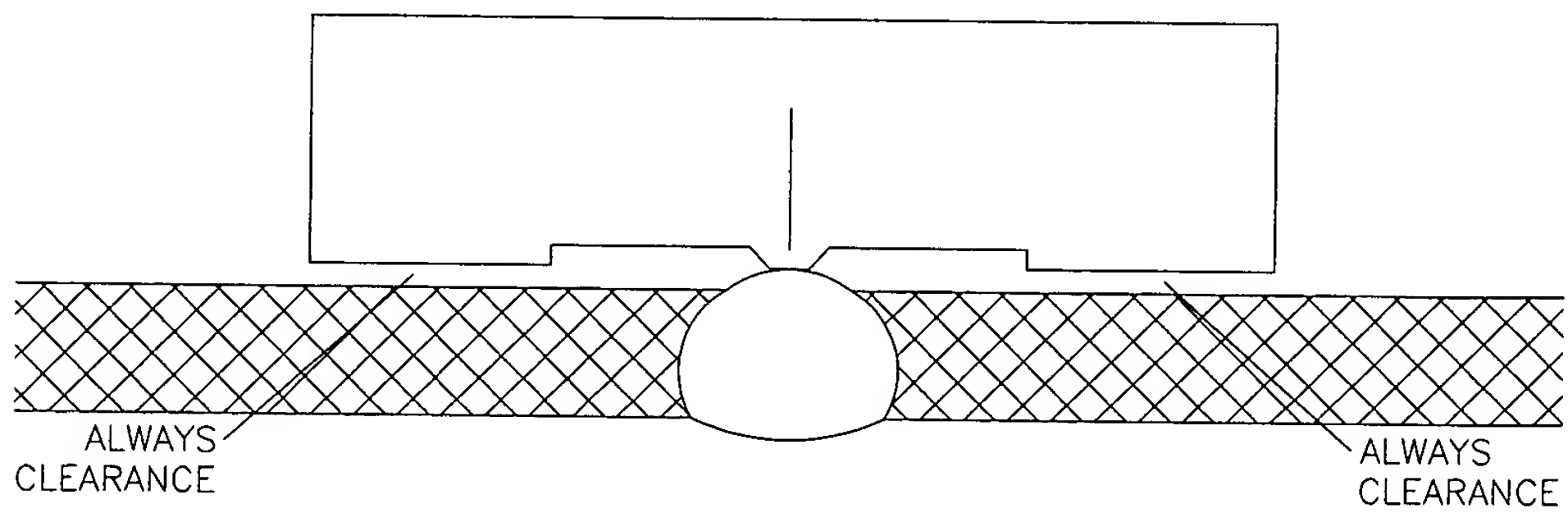
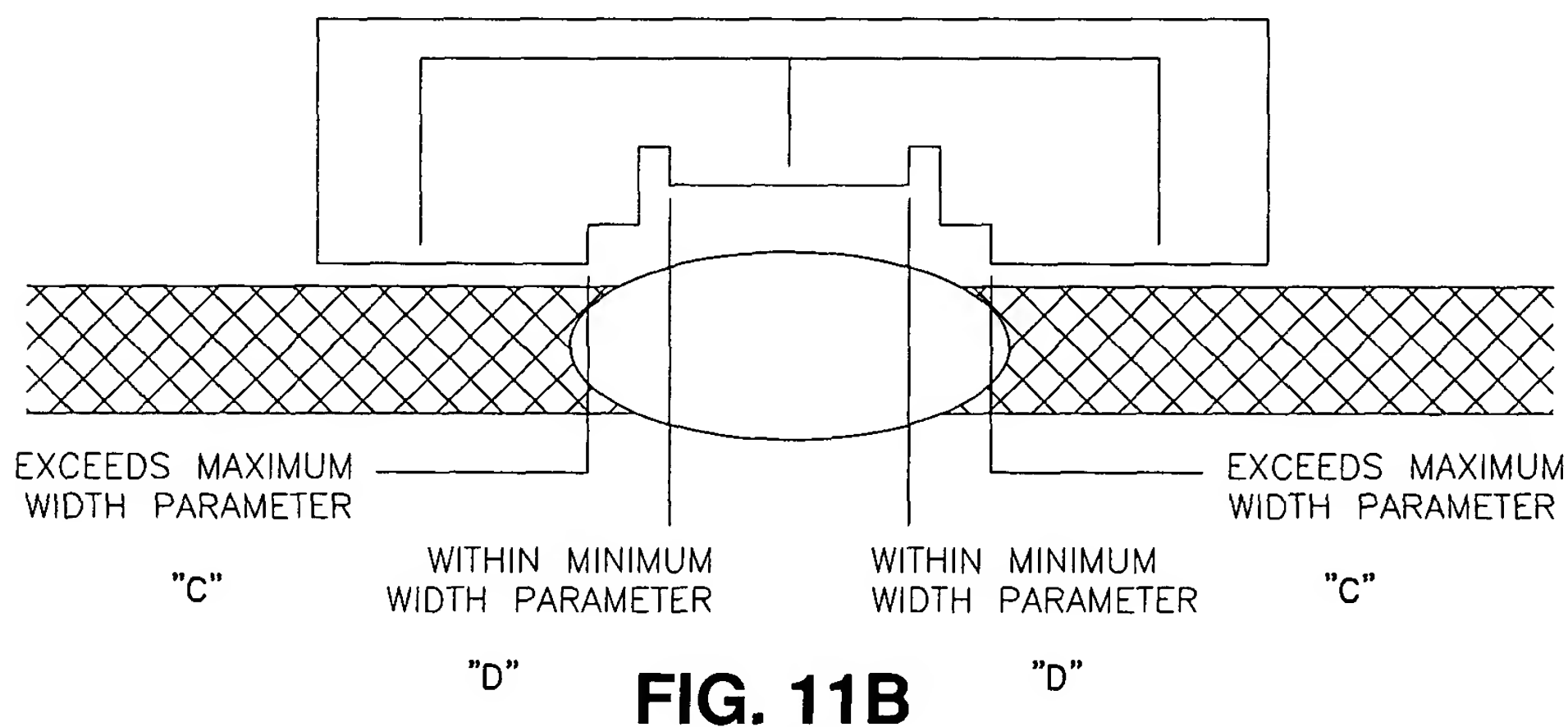
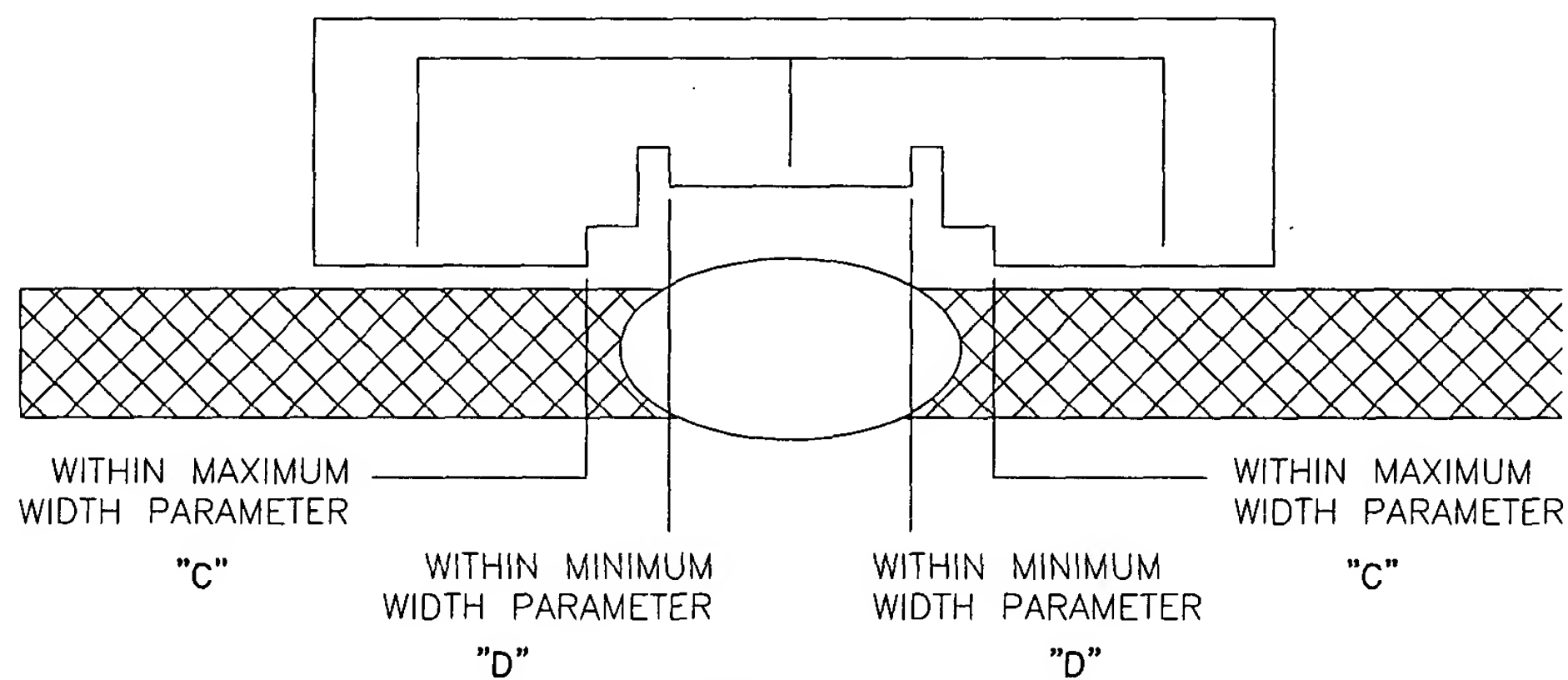
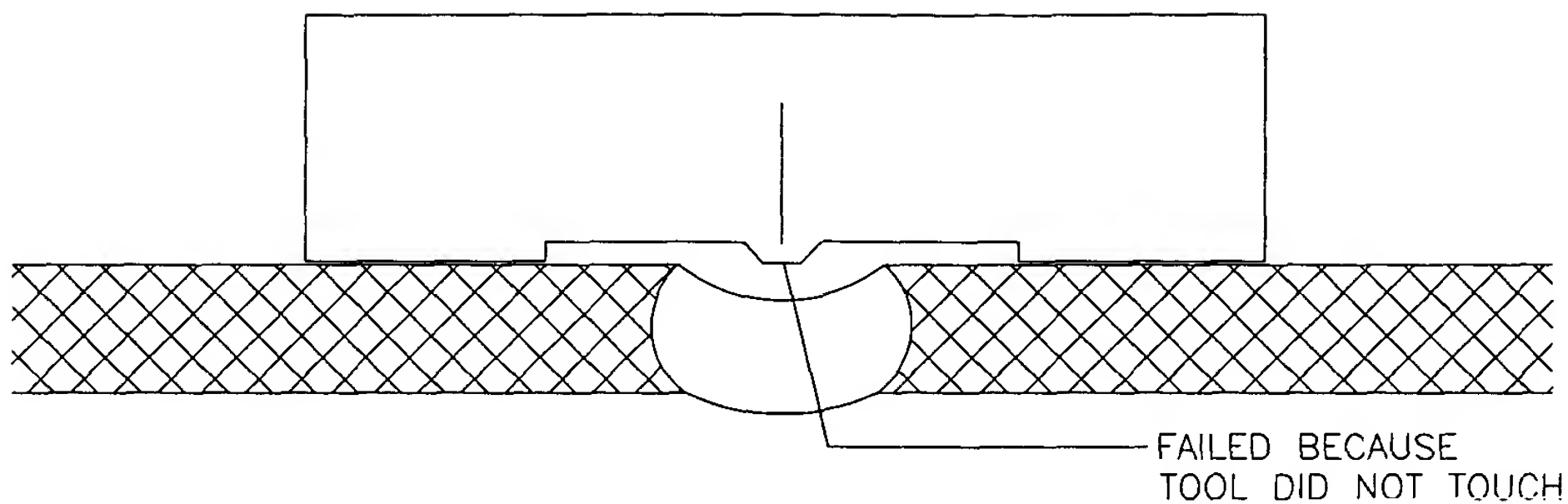


FIG. 10A



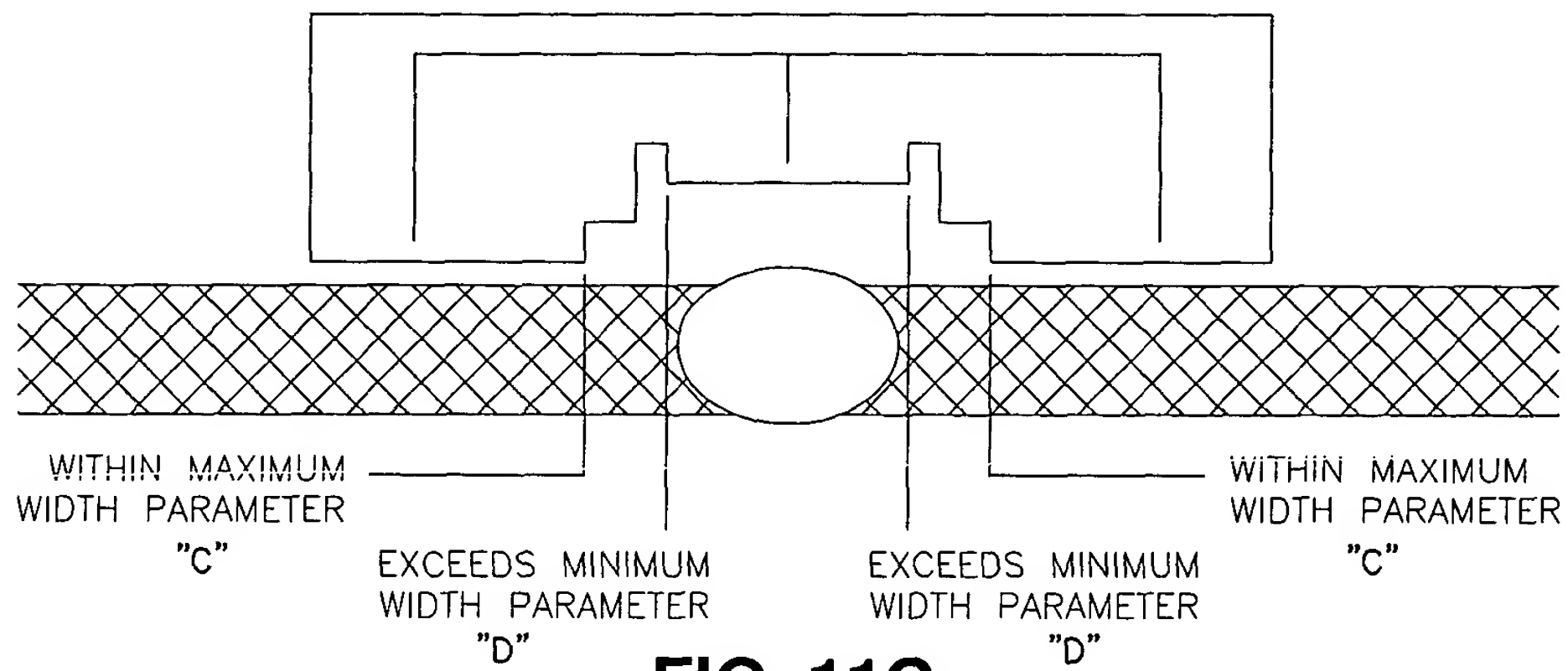


FIG. 11C

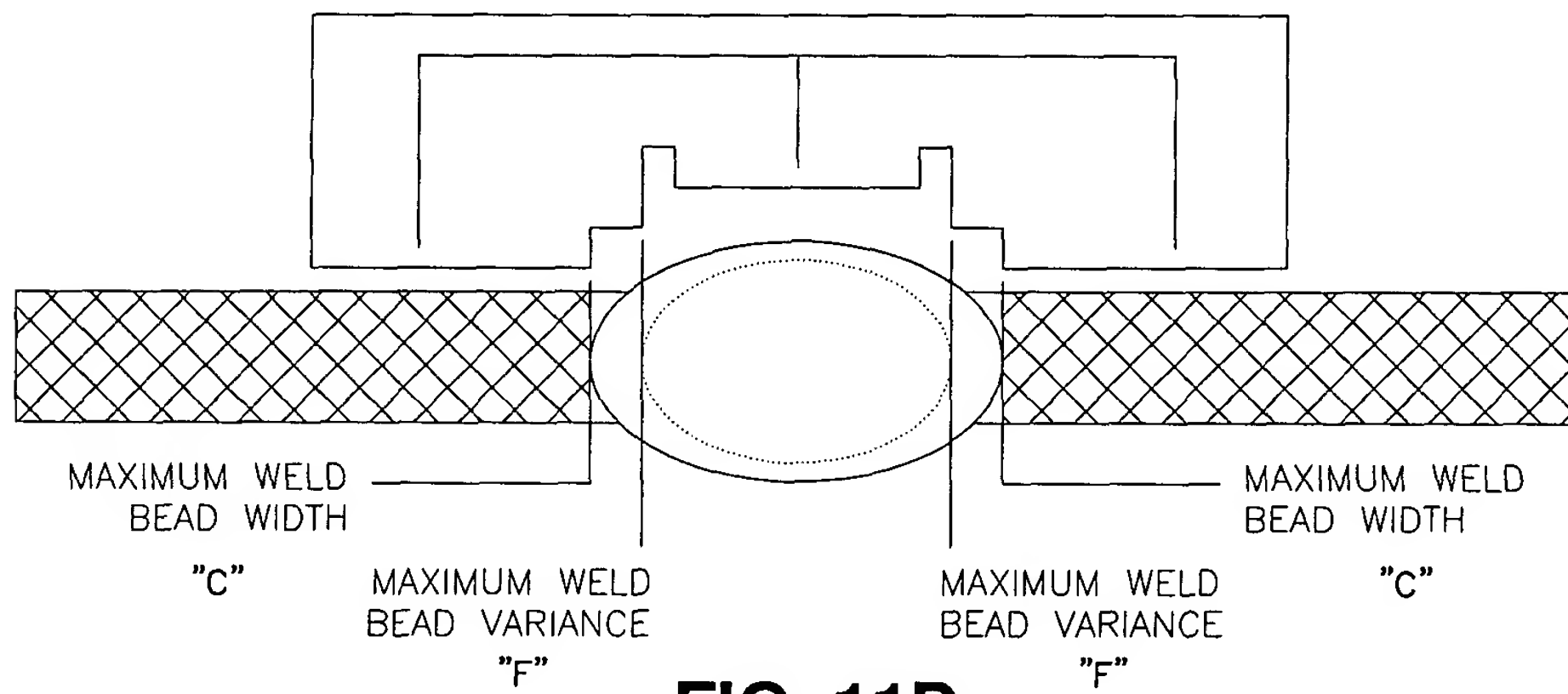


FIG. 11D

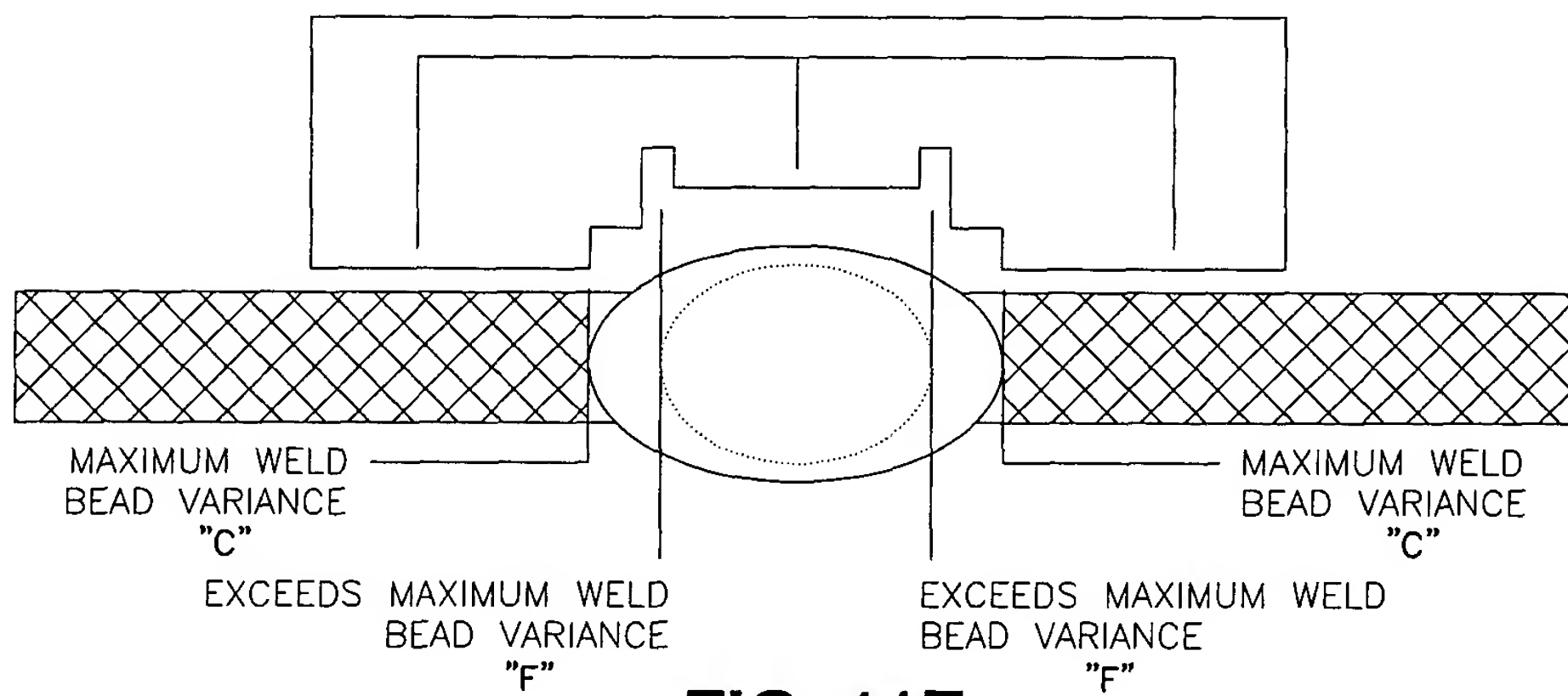


FIG. 11E

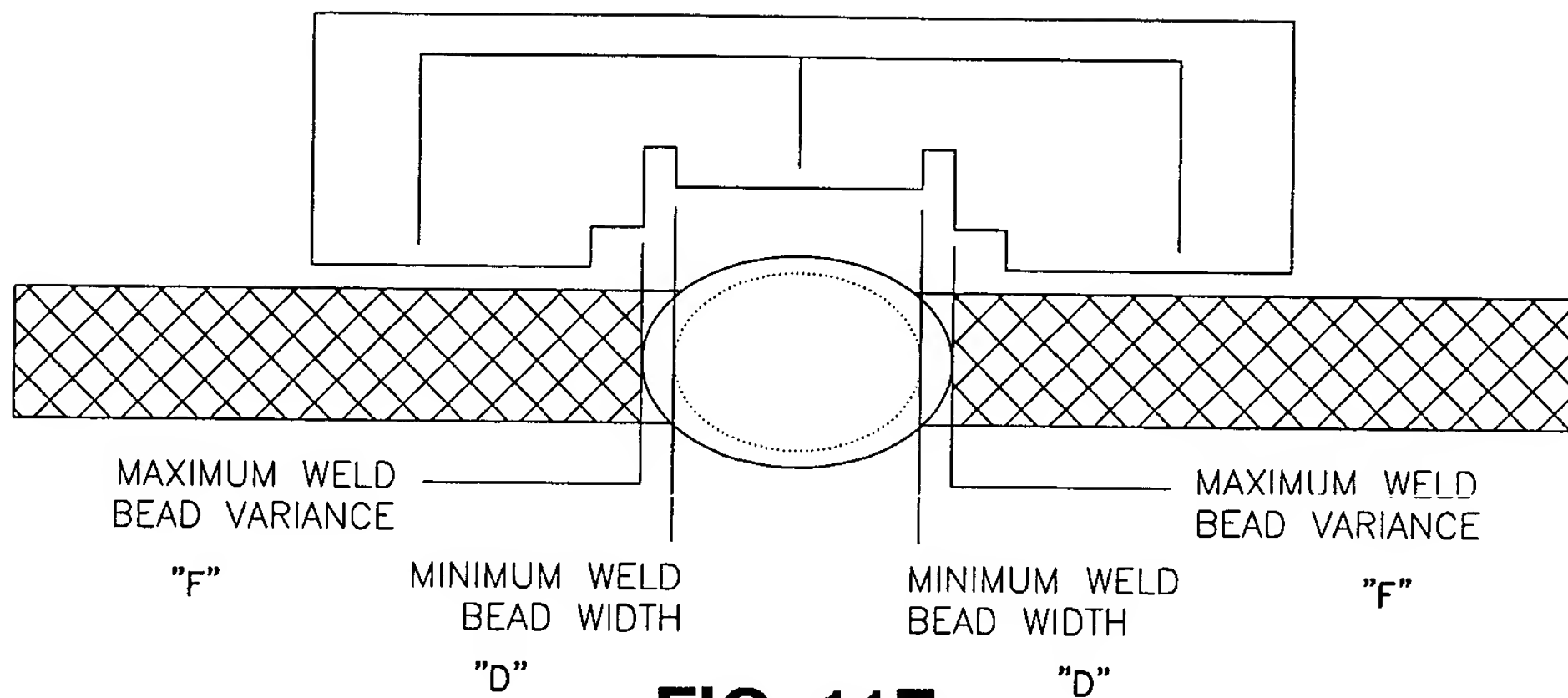


FIG. 11F

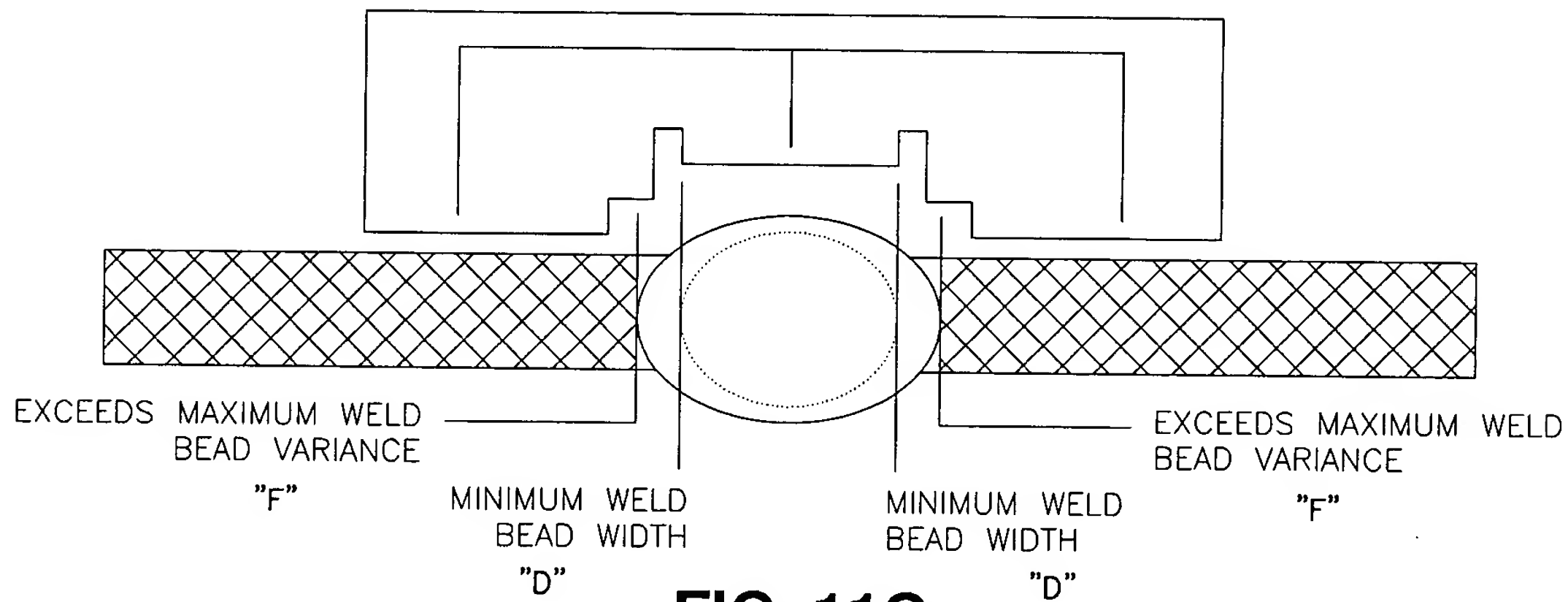
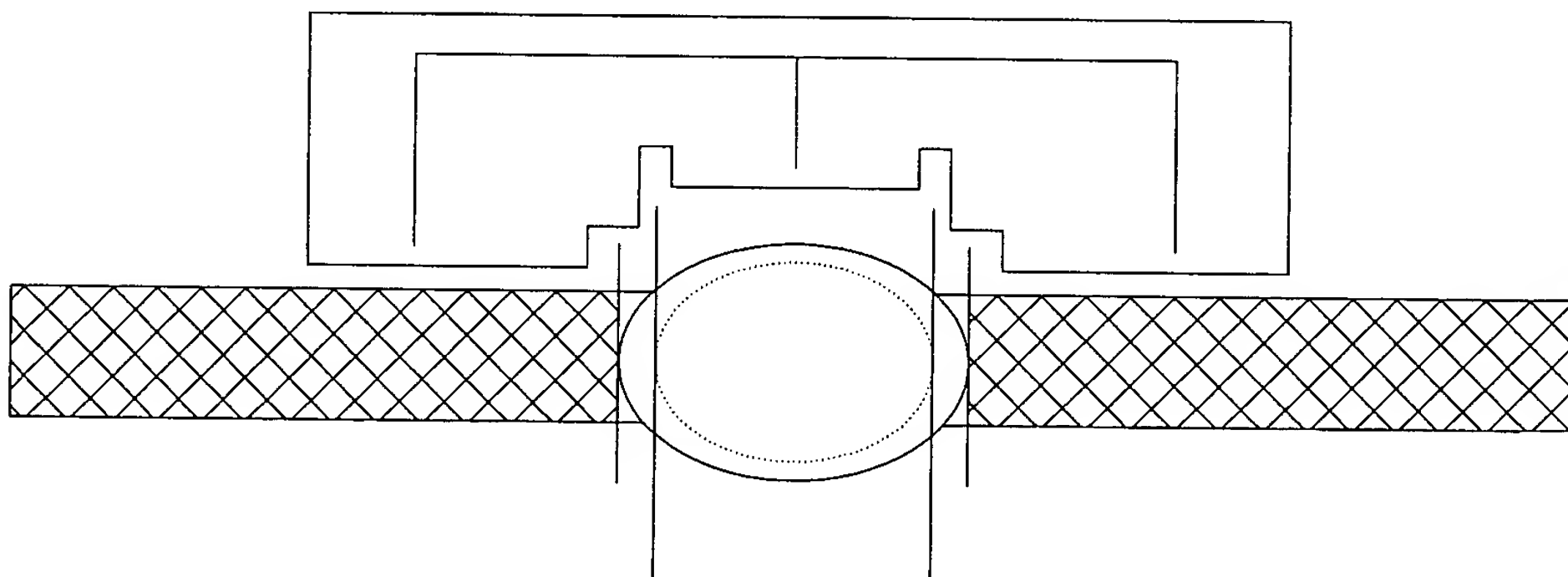


FIG. 11G



VISUAL REFERENCE OF ACCEPTANCE WITHIN MAXIMUM VARIATION OF WELD BEAD

FIG. 11H

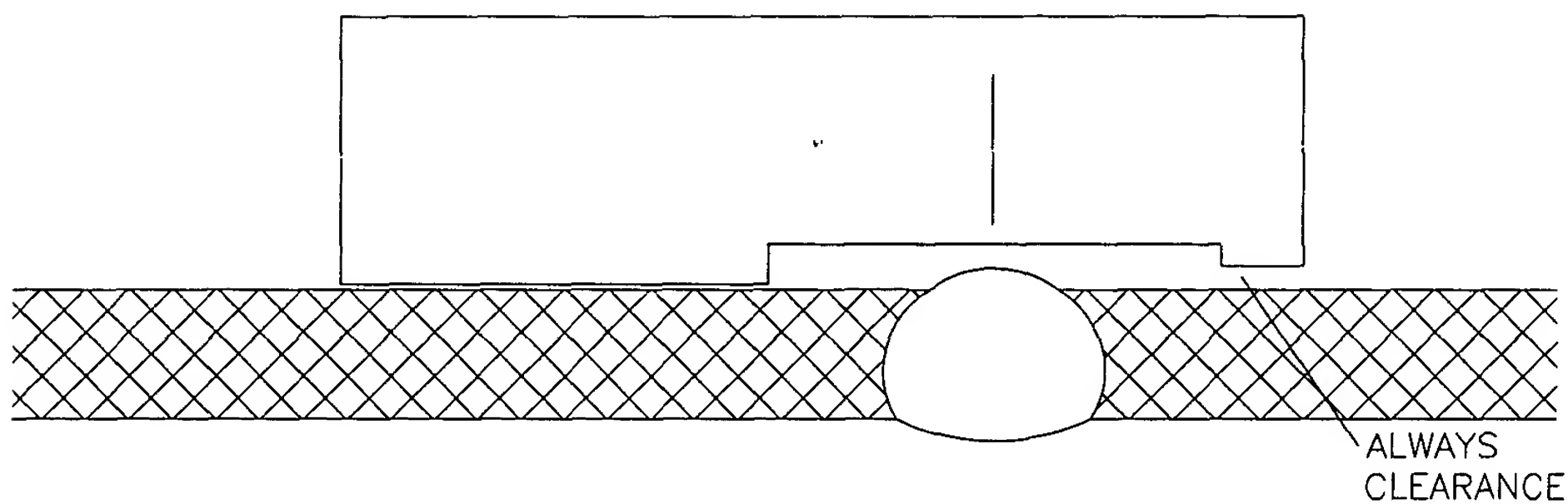


FIG. 12A

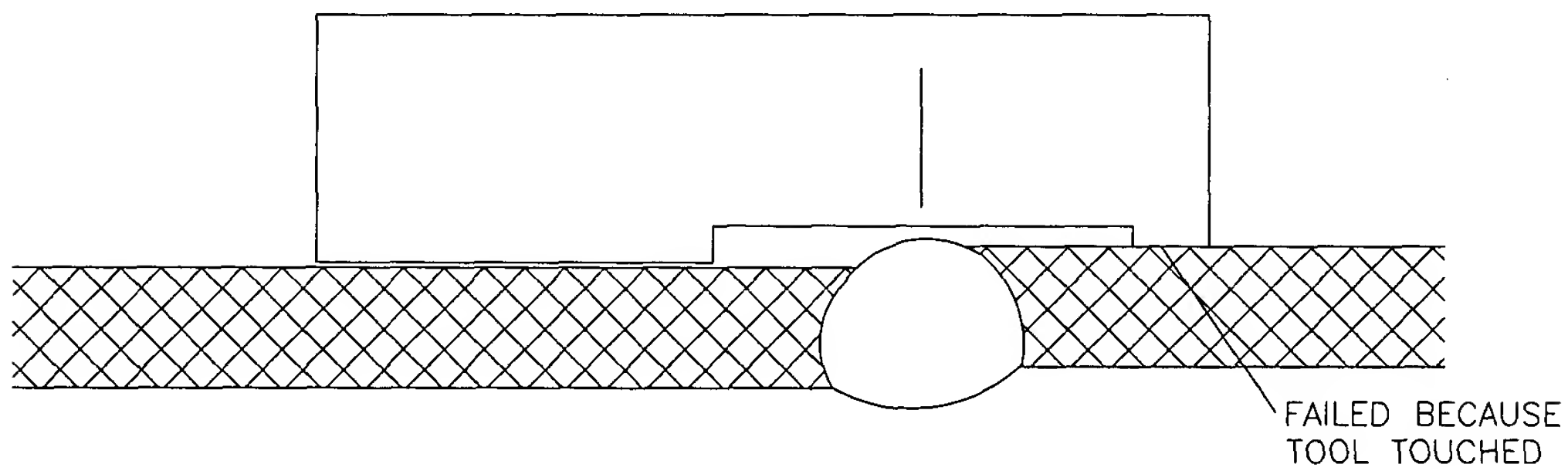


FIG. 12B

FIG. 13A

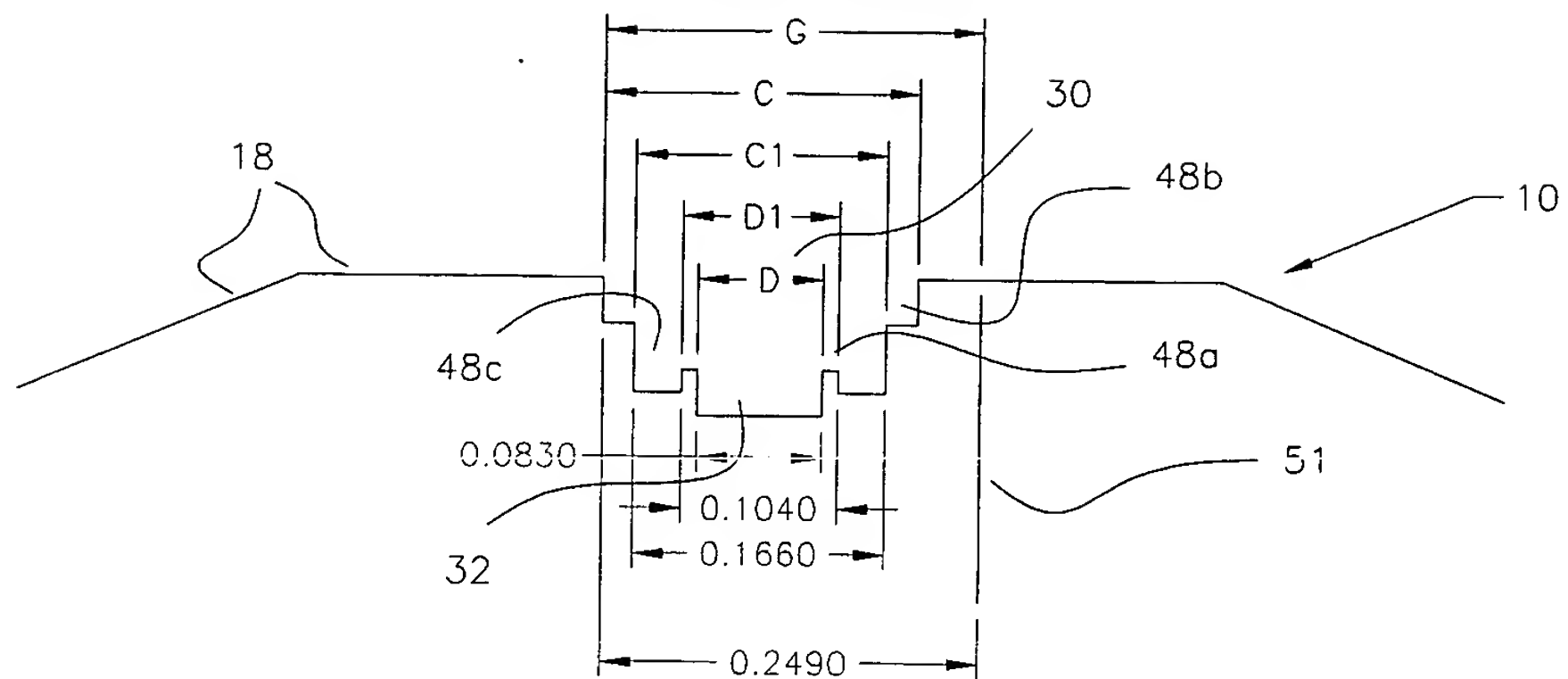


FIG. 13B

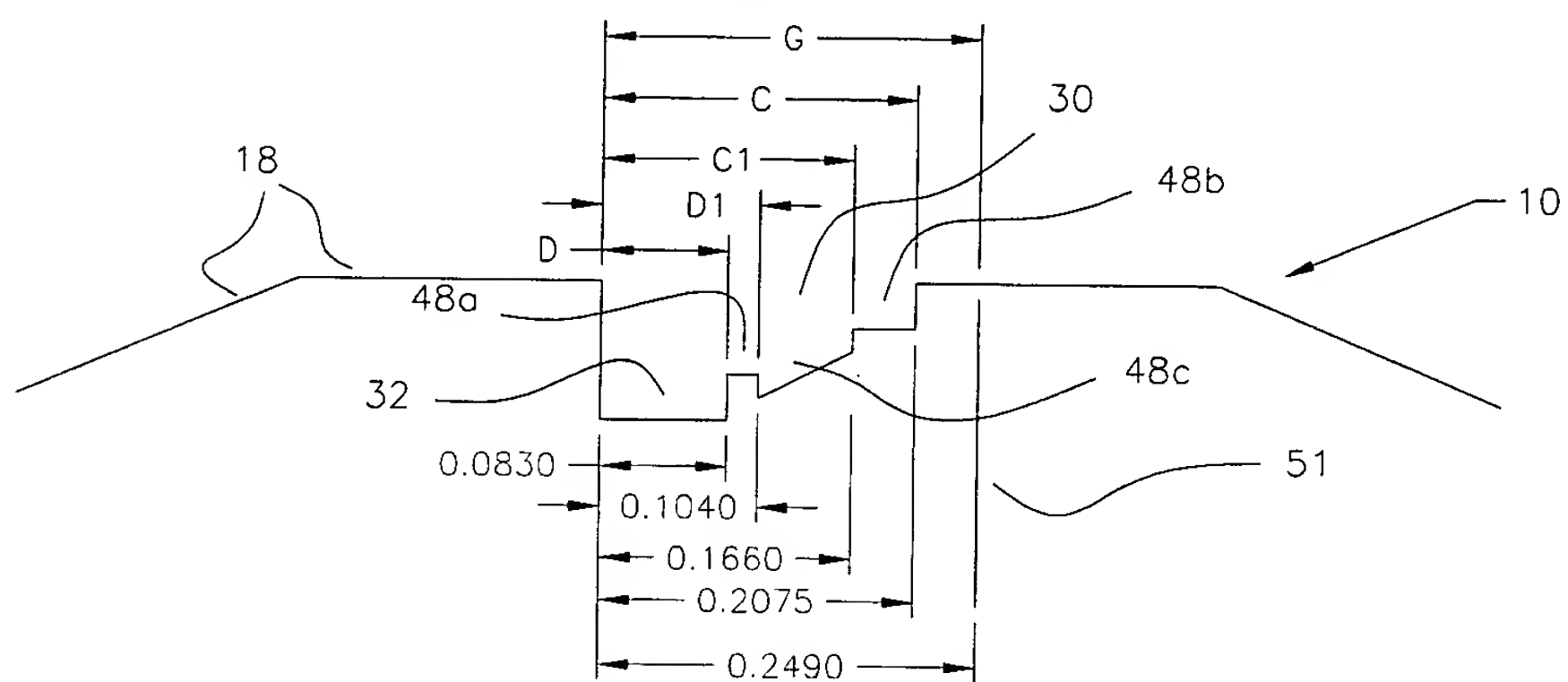


FIG. 13C

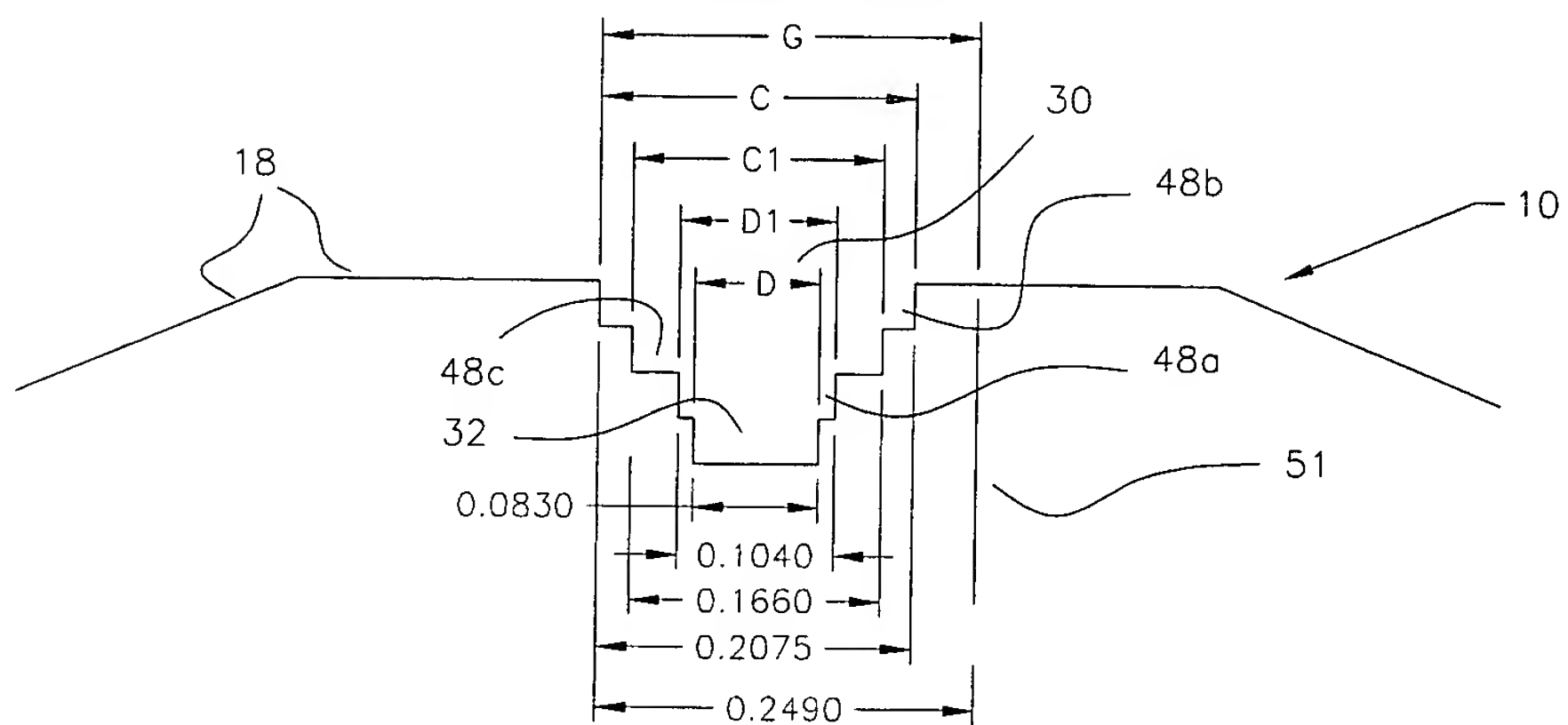


FIG. 14A

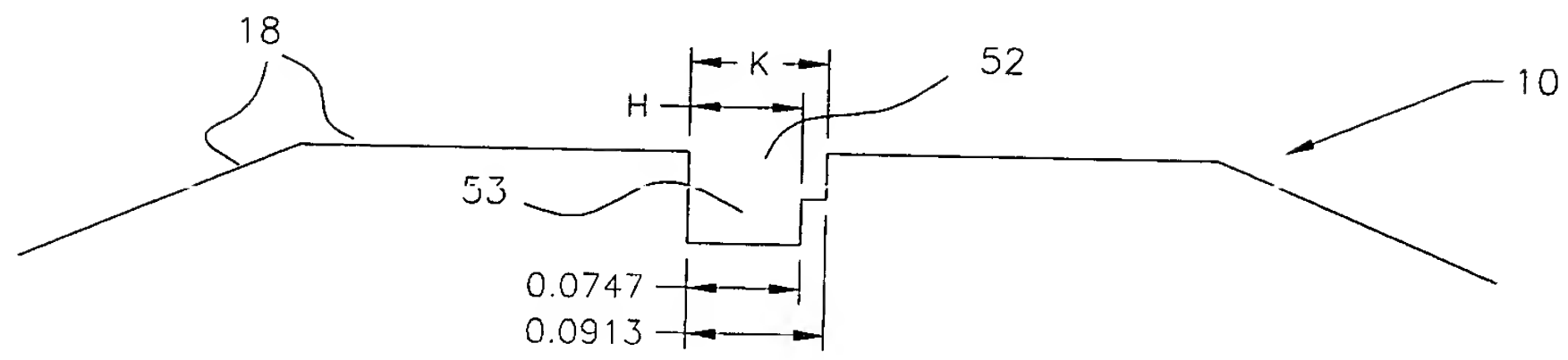


FIG. 14B

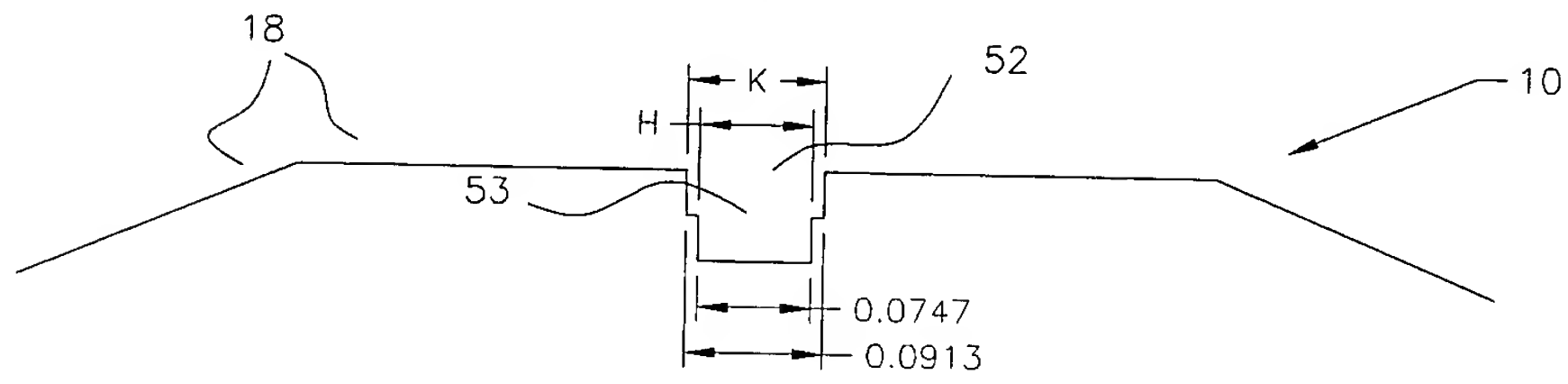


FIG. 15

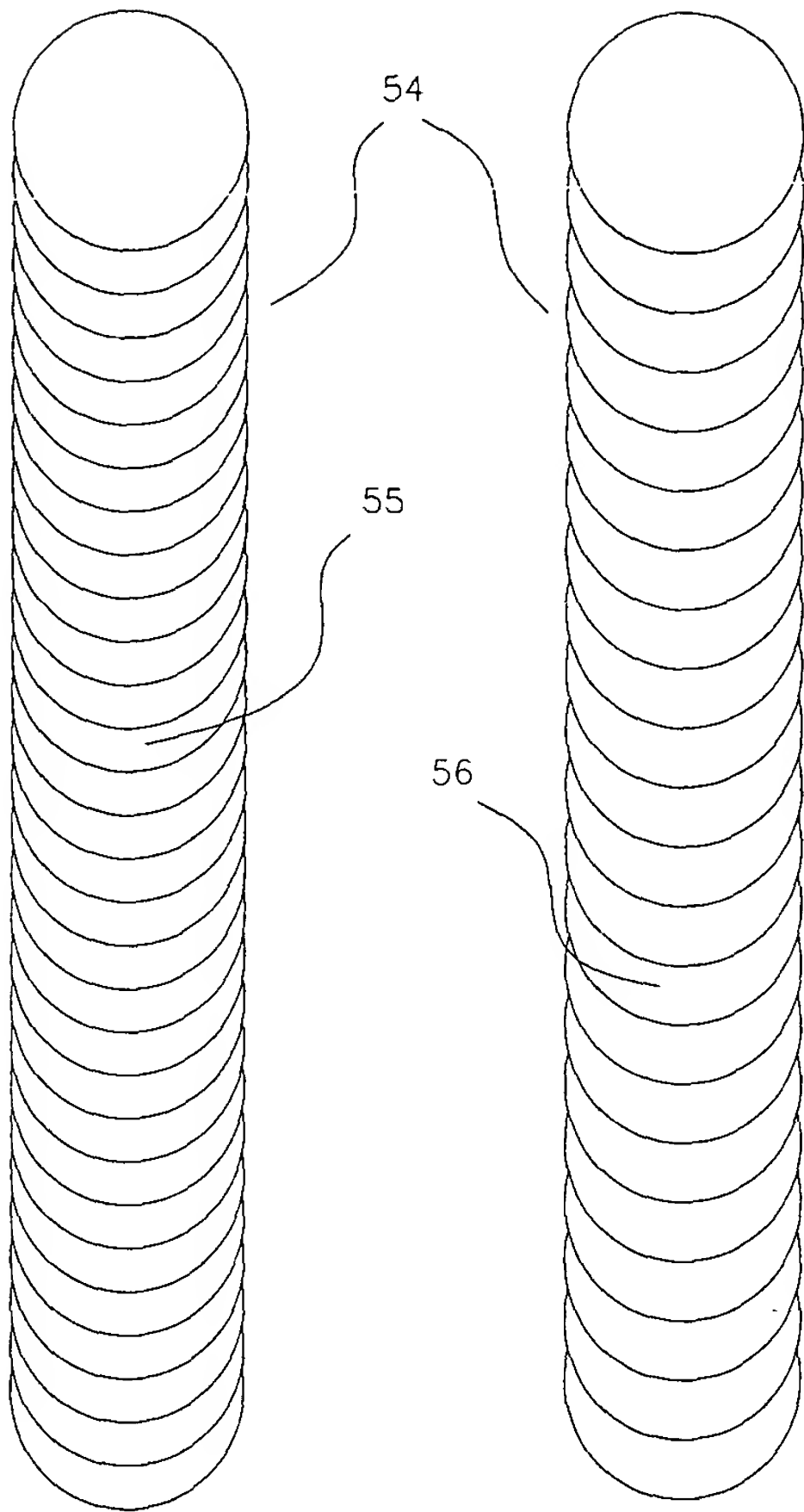


FIG. 16A

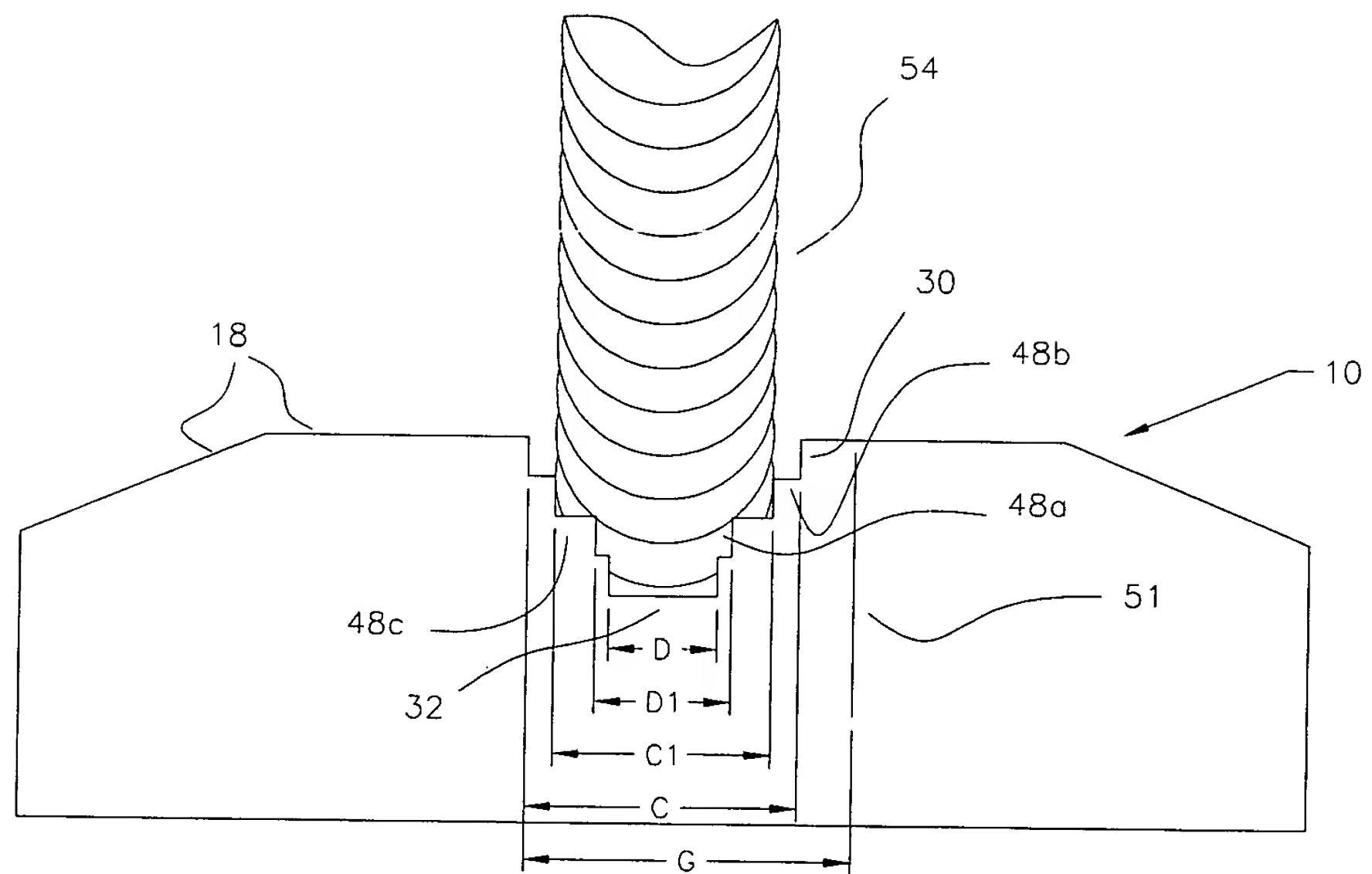


FIG. 16B

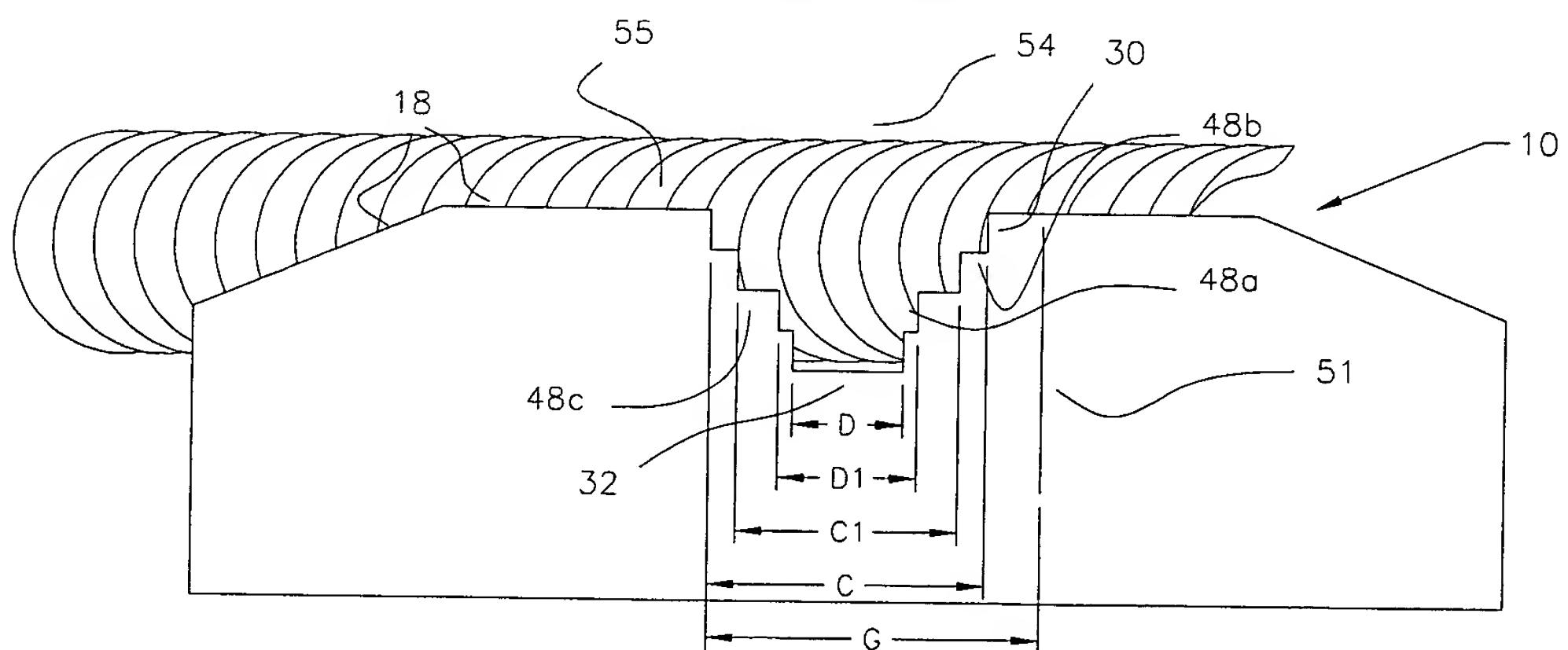


FIG. 16C

